

## 两例弯曲型二酸 Zn(II)、Cd(II)配合物的合成,结构与荧光性质

林奕勇<sup>1</sup> 陈梓云<sup>2</sup> 余小岚<sup>1</sup> 陈小明<sup>\*1</sup>

(<sup>1</sup> 中山大学化学与化学工程学院, 广州 510275)

(<sup>2</sup> 嘉应学院化学系, 梅州 514015)

**摘要:** 本文以弯曲型二酸 2,2'-azanediylidibenzoic acid(H<sub>2</sub>L)为配体, 溶液法合成了2个新的配合物[Zn<sub>2</sub>(L)<sub>2</sub>(H<sub>2</sub>O)<sub>2</sub>]·H<sub>2</sub>O (**1**)和[(NH<sub>4</sub>)<sub>2</sub>Cd(L)<sub>2</sub>]·C<sub>2</sub>H<sub>5</sub>OH (**2**)。通过X射线单晶衍射分别测定了他们的结构: 配合物**1**属于单斜晶系, 空间群为P2<sub>1</sub>/c, *a*=1.4879(2) nm, *b*=0.8989(1) nm, *c*=1.2100(2) nm,  $\beta$ =99.211(2) $^\circ$ , *V*=1.5973(3) nm<sup>3</sup>。配体L的羧酸根均为单齿配位, 桥连2个锌离子, 形成一个零维的[2+2]扭曲环状结构, 并由氢键作用连接成二维结构。配合物**2**属于正交晶系, 空间群为Pbcn, *a*=2.0602(2) nm, *b*=1.2819(1) nm, *c*=2.2461(1) nm, *V*=5.9319(6) nm<sup>3</sup>。Cd(II)取较少见的羧酸根螯合八配位结构, L与Cd(II)也形成了二核环状结构, 并通过共用1个镉离子而形成一维的阴离子链, 抗衡阳离子为NH<sub>4</sub><sup>+</sup>。链间通过π···π作用堆积成三维结构。此外, 还并测定了配体及配合物的荧光性质。

**关键词:** 弯曲型二酸; 晶体结构; *d*<sup>10</sup>金属配合物; 荧光性质

中图分类号: O614.24<sup>1</sup>; O614.24<sup>2</sup>

文献标识码: A

文章编号: 1001-4861(2006)08-1467-06

### Synthesis, Structures and Photoluminescence of Two Zinc and Cadmium V-shaped Dicarboxylates

LIN Yan-Yong<sup>1</sup> CHEN Zi-Yun<sup>2</sup> YU Xiao-Lan<sup>1</sup> CHEN Xiao-Ming<sup>\*1</sup>

(<sup>1</sup>School of Chemistry and Chemical Engineering, Sun Yat-Sen University, Guangzhou 510275)

(<sup>2</sup>Department of Chemistry, Jiaying University, Meizhou, Guangdong 514015)

**Abstract:** Two new coordination complex are synthesized through solvent-volatilization method from reaction of V-shaped 2,2'-azanediylidibenzoic acid (H<sub>2</sub>L) with Zn(II) or Cd(II) salts, namely [Zn<sub>2</sub>(L)<sub>2</sub>(H<sub>2</sub>O)<sub>2</sub>]·H<sub>2</sub>O (**1**) and [(NH<sub>4</sub>)<sub>2</sub>Cd(L)<sub>2</sub>]·C<sub>2</sub>H<sub>5</sub>OH (**2**)。Crystal structural analyses reveals that **1** belongs to space group P2<sub>1</sub>/c with *a*=1.4879(2) nm, *b*=0.8989(1) nm, *c*=1.2100(2) nm,  $\beta$ =99.211(2) $^\circ$ , *V*=1.5973(3) nm<sup>3</sup>. Each Zn(II) ion is bridged by two L ligands in the monodentate-monodentate mode to form a neutral ring-like dimer. Complex **2** crystallizes in the space group Pbcn, with *a*=2.0602(2) nm, *b*=1.2819(1) nm, *c*=2.2461(1) nm, *V*=5.9319(6) nm<sup>3</sup>. The Cd(II) atom in **2** is coordinated by eight oxygen atoms from four bis (bidentate) L ligands. Ring-like units are formed due to the  $\mu$ -bridge mode of L, and a one-dimensional anion chain is built by sharing a Cd(II) ion between the units. Furthermore, element analyses, IR spectra and solid-state photoluminescence properties are also reported. CCDC: 613076, **1**; 613077, **2**.

**Key words:** V-shaped dicarboxylate; crystal structure; *d*<sup>10</sup> metal complex; photoluminescence

金属有机配位聚合物由于其有潜在的应用前景和漂亮的结构, 成为近年来研究的热点。有机芳香二酸因其具有多种配位模式和可提供多种修饰的功能

团而常被作为桥连配体使用<sup>[1,2]</sup>。其中, 弯曲型二酸, 如间苯二甲酸, 4,4'-氧醚二苯甲酸等, 具有特定的配位方向性以及适当的刚柔性, 常在含有手性、螺

收稿日期: 2006-06-15。收修改稿日期: 2006-07-27。

国家自然科学基金(No.20531070)和广东省自然科学基金研究团队项目(No.04205405)资助。

\*通讯联系人。E-mail: exm@mail.sysu.edu.cn

第一作者: 林奕勇, 男, 27岁, 博士研究生; 研究方向: 配位化学。

旋、折叠链等多种功能金属有机配位聚合物的超分子构筑中起关键作用<sup>[3,4]</sup>。如果选择合适的条件或体系, 如有 2,2'-联吡啶或 1,10-邻菲咯啉等端基配体的存在下, 限制了金属离子的配位数和配位方向, 弯曲型二酸也可以用于与金属离子构筑零维的环状配合物, 但报道并不多见<sup>[5]</sup>。本文选用一个较小角度的弯曲型二酸 H<sub>2</sub>L(2,2'-azanediylbenzoic acid)作为配体(如图 1 所示)<sup>[6]</sup>, 与间苯二甲酸等不同的是, 2 个苯甲酸并不是在平面上形成一定角度, 而是通过一个可以旋转的-NH-相连接, 使苯环不在同一平面上, 从而形成一定的角度。将 H<sub>2</sub>L 与过渡金属锌、镉离子作用, 合成了 2 个配合物 [Zn<sub>2</sub>(L)<sub>2</sub>(H<sub>2</sub>O)<sub>2</sub>]·H<sub>2</sub>O (**1**) 和 [(NH<sub>4</sub>)<sub>2</sub>Cd(L)<sub>2</sub>]·C<sub>2</sub>H<sub>5</sub>OH (**2**), X 射线单晶衍射分析表明, 前者是一个二核的环状结构, 而后者则是由二核环状结构连接起来的一维链状结构。此外, 并对其进行元素分析, 红外光谱及固态荧光光谱等表征。

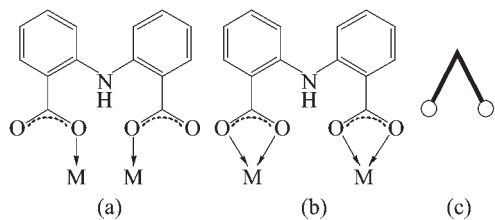


图 1 L 的配位模式:(a)在 **1** 中,(b)在 **2** 中,(c)简化的示图,黑折线代表弯曲型二酸,圆圈代表金属离子

Fig.1 Coordination modes of L in **1** (a), **2** (b) and a schematic drawing of the bridging structure (c) with bold line for a V-shaped dicarboxylate, open circle for a metal ion

## 1 实验部分

### 1.1 仪器和试剂

有关试剂主要来自金华大公司, 均为市售分析纯, 未经进一步纯化直接使用。化合物的 C、H 和 N 元素分析使用 Elementar Vario EL 元素分析仪; 红外光谱使用 Bruker QUINOX 55 红外光谱仪在 4 000~400 cm<sup>-1</sup> 范围内测定, KBr 压片, 分辨率优于 0.2 cm<sup>-1</sup>。化合物固体常温荧光光谱使用岛津 RF-5301PC 型荧光光谱仪测定。

### 1.2 配体 H<sub>2</sub>L 的合成

按照文献<sup>[6]</sup>的方法, 用邻氯苯甲酸(2-chlorobenzoic acid)(3.130 g, 20 mmol) 与邻氨基苯甲酸(2-aminobenzoic acid)(5.486 g, 40 mmol)、无水碳酸钾(1.382 g, 10 mmol), 铜粉(0.1 g), DMF(15 mL), 在 150

℃回流搅拌 2 h。冷却至室温, 在不断搅拌下慢慢加入到 HCl 溶液(1:1, 50 mL)中, 产生淡黄色沉淀, 放置过夜。抽滤, 用蒸馏水洗涤, 晾干。再用四氢呋喃重结晶, 得到黄色晶体。产率约为 45.5%。元素分析理论值 C<sub>14</sub>H<sub>11</sub>NO<sub>4</sub> (%): C, 65.37; H, 4.31; N, 5.45, 实验值 (%): C, 65.12; H, 4.28; N, 5.50。

### 1.3 配合物 [Zn<sub>2</sub>(L)<sub>2</sub>(H<sub>2</sub>O)<sub>2</sub>]·H<sub>2</sub>O (**1**) 的合成

将 H<sub>2</sub>L(0.129 g, 0.5 mmol)溶于乙醇(5 mL)中, 搅拌下慢慢滴加 25% 氨水(1 mL), 得到淡黄色澄清溶液。将该溶液慢慢滴加到 Zn(NO<sub>3</sub>)<sub>2</sub>·6H<sub>2</sub>O(0.149 g, 0.5 mmol) 水溶液(5 mL)里, 搅拌 30 min。过滤后, 将所得的浅黄色溶液静置, 一周后析出淡黄色块状晶体, 产率约为 41%。元素分析理论值 C<sub>28</sub>H<sub>30</sub>N<sub>2</sub>O<sub>14</sub>Zn<sub>2</sub> (%): C, 44.88; H, 4.04; N, 3.74。实验值 (%): C, 47.34; H, 3.71; N, 3.85。IR 数据: 3 328s, 3 069m, 3 034m, 1 610 s, 1 576s, 1 501s, 1 456s, 1 366s, 1 276s, 1 194.0m, 1 154 m, 1 093w, 1 041w, 954w, 854w, 829w, 808w, 750s, 709 m, 676m, 561w, 522.0w, 458w。

### 1.4 配合物 [(NH<sub>4</sub>)<sub>2</sub>Cd(L)<sub>2</sub>]·C<sub>2</sub>H<sub>5</sub>OH (**2**) 的合成

将 H<sub>2</sub>L(0.129 g, 0.5 mmol)溶于乙醇(5 mL)中, 慢慢滴加 25% 氨水(1 mL), 得到淡黄色澄清溶液。将该溶液慢慢滴加到 Cd(NO<sub>3</sub>)<sub>2</sub>·4H<sub>2</sub>O(0.154 g, 0.5 mmol) 水溶液(5 mL)里, 搅拌 30 min。过滤后, 将所得的浅黄色溶液静置, 4 d 后析出浅黄绿色柱状晶体, 产率约为 72%。元素分析理论值 C<sub>30</sub>H<sub>32</sub>CdN<sub>4</sub>O<sub>9</sub> (%): C, 51.11; H, 4.58; N, 7.95, 实验值 (%): C, 50.81; H, 4.10; N, 8.15。红外光谱数据: 3 644w, 3 560w, 3 274m, 3 008 m, 2 803w, 1 608m, 1 575s, 1 503s, 1 455m, 1 402s, 1 284.7 m, 1 225w, 1 155m, 1 040w, 948w, 859w, 838w, 809w, 748 m, 710w, 675w, 644w, 550w, 517w, 420w。

### 1.5 晶体结构测定

选取大小合适的单晶, 于 293(2) K 下, 在带有石墨单色器的 Bruker Smart Apex CCD 单晶衍射仪上进行衍射实验。用 Mo K $\alpha$  射线(0.071 073 nm), 以  $\omega$  扫描方式收集数据并进行 Lp 因子校正, 数据使用 SAINT<sup>+</sup>程序包处理<sup>[7]</sup>, 吸收校正使用 SADABS 程序<sup>[8]</sup>。晶体结构由直接法解出, 用差值傅立叶法求出全部非氢原子坐标, 有机氢原子由理论加氢法得到, 无机氢原子从差值傅立叶图中找出。用全矩阵最小二乘法精修结构。计算工作在 PC 机上由 SHELXTL 程序包完成<sup>[9]</sup>。表 1 给出了 2 个配合物的晶体学数据, 表 2 为部分键长键角。

CCDC: 613076, **1**; 613077, **2**。

表1 配合物1和2的晶体学参数  
Table 1 Crystallographic data for complex 1 and 2

Complex	1	2
Formula	C <sub>28</sub> H <sub>30</sub> N <sub>2</sub> O <sub>14</sub> Zn <sub>2</sub>	C <sub>30</sub> H <sub>32</sub> CdN <sub>4</sub> O <sub>9</sub>
Formula weight	749.28	705.01
Crystal system	Monoclinic	Orthorhombic
Space group	P2 <sub>1</sub> / c (No.14)	Pbcn (No.60)
a / nm	1.487 9(2)	2.060 2(2)
b / nm	0.898 9(1)	1.281 9(1)
c / nm	1.210 0(2)	2.246 1(1)
β / (°)	99.211(2)	90
V / nm <sup>3</sup>	1.597 3(3)	5.931 9(6)
Z	2	8
D <sub>c</sub> / (g·cm <sup>-3</sup> )	1.558	1.579
μ(Mo Kα) / mm <sup>-1</sup>	1.572	0.798
No. unique data	3 446	5 775
No. data with $I \geq 2\sigma(I)$	2 886	4 349
Number of parameters	209	404
Goodness-of-fit on $F^2$	1.059	1.083
$R_1$ [ $I > 2\sigma(I)$ ] <sup>a</sup>	0.056 1	0.061 9
wR <sub>2</sub> (all data) <sup>b</sup>	0.156 0	0.149 1

<sup>a</sup>  $R_1 = \sum |F_o| - |F_c| / \sum |F_o|$ , <sup>b</sup>  $wR_2 = [\sum w(|F_o| - |F_c|)^2 / \sum w|F_o|^2]^{1/2}$ ,  $w = [\sigma^2(F_o)^2 + (0.1(\max(0, F_o^2) + 2F_c^2)/3)]^{-1}$ .

表2 配合物1和2的部分键长键角表  
Table 2 Selected bond lengths (nm) and angles(°) of complex 1 and 2

Complex 1					
Zn1-O1	0.195 7(3)	Zn1-O1W	0.198 4(3)	Zn1-O2W	0.200 4(3)
Zn1-O3A	0.197 4(3)				
O1-Zn1-O3A	104.44(11)	O1-Zn1-O1W	118.92(1)	O1-Zn1-O2W	103.11(1)
O3A-Zn1-O1W	116.43(1)	O1W-Zn1-O2W	112.28(1)	O3A-Zn1-O2W	99.10(1)
Complex 2					
Cd1-O3A	0.233 3(3)	Cd1-O7	0.235 1(4)	Cd1-O4A	0.255 6(3)
Cd1-O6A	0.236 6(4)	Cd1-O2	0.237 6(3)	Cd1-O8	0.248 7(4)
Cd1-O1	0.243 1(3)	Cd1-O5A	0.244 7(3)		
O3A-Cd1-O7	96.5(1)	O3A-Cd1-O6A	158.0(1)	O1-Cd1-O5A	120.9(1)
O3A-Cd1-O2	86.7(1)	O7-Cd1-O6A	89.3(1)	O7-Cd1-O8	53.9(1)
O6A-Cd1-O2	95.6(1)	O7-Cd1-O2	158.5(1)	O2-Cd1-O8	147.6(1)
O3A-Cd1-O1	80.0(1)	O7-Cd1-O1	147.0(1)	O5A-Cd1-O8	113.8(1)
O2-Cd1-O1	54.5(1)	O6A-Cd1-O1	83.6(1)	O8-Cd1-O4A	122.9(1)
O3A-Cd1-O5A	147.6(1)	O7-Cd1-O5A	78.7(1)	O2-Cd1-O4A	76.9(1)
O2-Cd1-O5A	87.26(1)	O6A-Cd1-O5A	54.4(1)	O7-Cd1-O4A	88.0(1)
O3A-Cd1-O8	87.11(1)	O1-Cd1-O4A	114.2(1)	O5A-Cd1-O4A	94.4(1)
O6A-Cd1-O8	79.2(1)	O6A-Cd1-O4A	148.5(1)	O1-Cd1-O8	93.1(1)
O3A-Cd1-O4A	53.2(1)				

Symmetry operations for 1: A: -x, -y, -z+1; for 2: A: -x-1/2, y-1/2, z.

## 2 结果与讨论

### 2.1 晶体结构

配合物 **1** 的晶体结构表明, 独立单元由 1 个 Zn(II) 离子, 1 个 L 配体分子, 2 个配位水和 1 个结晶水组成。L 2 个羧酸根均为单齿配位, 桥连 2 个 Zn(II) 离子, 具有四面体配位构型的 Zn(II) 离子另外 2 个配位点由 2 个水分子所占据 [Zn1-O 0.195 7 (3)~0.200 4(3) nm, O-Zn1-O 99.10(13)°~118.92(13)°], 成为 1 个二核中性分子(图 2a)。L 的 2 个苯环间的夹角为 56.4°, 这与已经报道的 H<sub>2</sub>L 的晶体结构相比较(2 个苯环间的夹角为 45.2°)<sup>[6]</sup>, 配位之后 L 的 2 个苯环间的夹角明显增大, 这是因为-NH-有一定的旋转角度, 由于配位金属的空间位阻作用, 使苯环间夹角的增大。简化之后可以看到是由弯曲型二酸连接 2

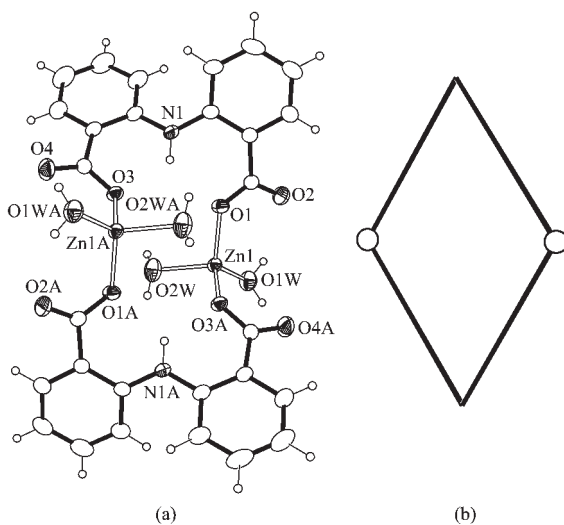


图 2 配合物 **1** 的配位结构(a)(省略了结晶水)和简化后  
的二核环状结构(b)

Fig.2 Coordination structure (a) and simplified structure  
motif (a) of **1**

个金属离子成为 1 个环状结构(图 2b)。未配位的羧酸根氧原子、与另一分子的配位水和结晶水有着较强的氢键作用[D···A 0.270 6(4)~0.309 2(4) nm], 相关氢键列于表 3, 这些氢键使二核环状结合在一起形成了 1 个二维层, 层与层则通过范德华力进一步堆积成三维起分子构筑(图 3)。

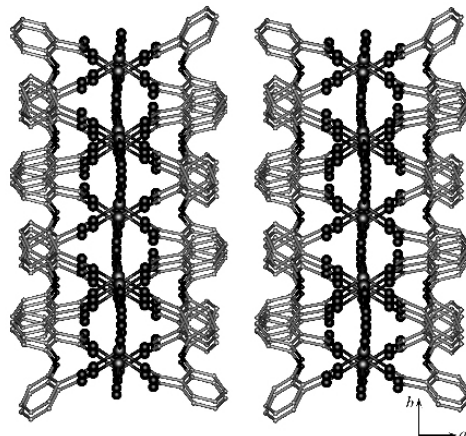


图 3 配合物 **1** 的堆积图(为清晰起见,省略了 H 原子)

Fig.3 Perspective view of the molecular packing in **1**, H atoms were omitted for clarity

配合物 **2** 的独立单元包含有 2 个脱了质子的 L, 1 个 Cd(II) 和 2 个质子化的 NH<sub>4</sub><sup>+</sup> 离子, 此外还有 1 个无序的乙醇分子(图 4)。Cd(II) 离子上有 8 个氧原子配位, 分别来自于 4 个 L 配体, 使 Cd(II) 成为较少见的羧酸根螯合八配位结构 [Cd1-O 0.233 3(3)~0.255 6(3) nm]<sup>[10]</sup>。这与 **1** 明显不同[Zn1-O 0.195 7(3)~0.200 4(3) nm], 主要原因应该是 Cd(II) 离子的半径比 Zn(II) 大, 较易出现 6 以上的配位数。值得指出的是, 2 个 L 桥连起 2 个 Cd(II), 同样也形成了类似 **1** 的二核环状结构, 有意思的是, 这些二核环状单元通过共用 1 个 Cd(II) 离子连接起来, 成为一维的阴离子链状结构, 外面是相应的抗衡阳离子 NH<sub>4</sub><sup>+</sup>。环与环之间

表 3 配合物 **1** 中的主要氢键

Table 3 Hydrogen bonds for **1**

D-H···A	d(D-H)/nm	d(H···A)/nm	d(D···A)/nm	∠(DHA)/°
N1-H1A···O1	0.086	0.213	0.275 0(4)	129.0
N1-H1A···O3	0.086	0.211	0.270 6(4)	126.0
O1W-H1WA···O3W	0.085	0.226	0.309 0(5)	166.0
O1W-H1WB···O3WA	0.085	0.229	0.309 2(5)	157.3
O2W-H2WA···O2B	0.085	0.220	0.295 8(5)	147.9
O3W-H3WA···O4C	0.085	0.225	0.288 1(6)	131.5
O3W-H3WB···O2	0.081	0.228	0.287 0(6)	129.6

Symmetry operations for **1**: A: -x, -y, -z+2; B: -x, y+1/2, -z+3/2; C: x, y, z+1.

的夹角约为 $85^\circ$ (图5)。链与链之间通过 $\pi\cdots\pi$ 作用(约0.3538 nm)和范德华作用堆积成三维超分子构筑(图6)。一维链之间的空隙,被无序的乙醇分子所占据。此外,配体L2个苯环间的夹角为 $49.6^\circ$ ,比单纯配体晶体中的二面角稍大一点,但比**1**中的要小。

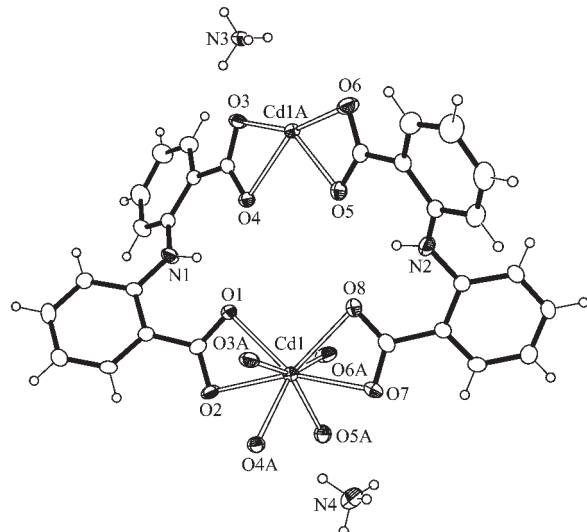


图4 配合物**2**的配位结构图(省略了无序的乙醇分子)

Fig.4 Coordination structure of **2** (disordered ethanol molecule was omitted)

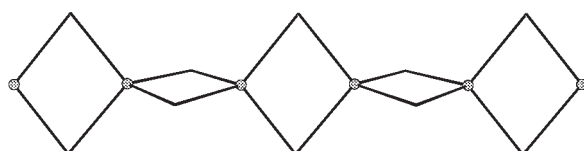


图5 配合物**2**的一维链状结构示意图

Fig.5 Schematic presentation of the 1D chain structure in complex **2**

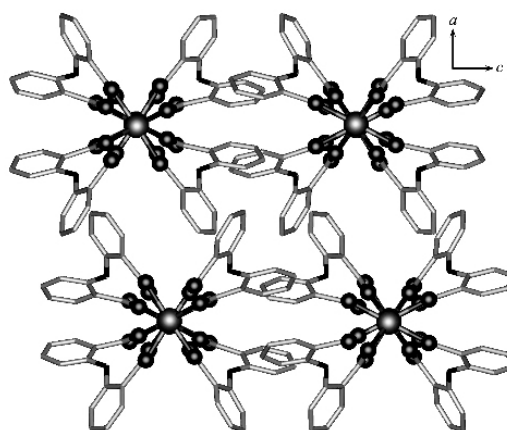


图6 配合物**2**的堆积图(为清晰起见,省略了H原子和无序的乙醇分子)

Fig.6 Packing structure of **2** (H atoms and disordered ethanol molecules were omitted for clarity)

## 2.2 荧光性质

我们对配体H<sub>2</sub>L, 配合物**1**和**2**的固体荧光进行了表征(如图7所示)。H<sub>2</sub>L配体在室温下荧光并不强,这是由于它的2个苯环不共面,两苯环之间没有太大的共轭作用所引起的。与金属配位后,2个配合物的荧光有一定的增强,这可以归因于金属离子的配位增强了整个分子的刚性,但晶体中都存在不同程度的结晶水或溶剂分子,自由振动比较大,使能量分散而损失。另外,由于配合物中2个苯环间的二面角比未配位配体依次增大(在H<sub>2</sub>L中为 $45.2^\circ$ , **2**中为 $49.6^\circ$ , **1**中为 $56.4^\circ$ ),其芳环的共轭面减小,使得化合物的前线轨道能隙增大,从而需要更高能量的激发光。因此,其荧光发射峰的位置分别从468 nm蓝移至447 nm和431 nm。因此,我们的结果暗示,具有共轭平面大、刚性的配体将有利于产生强的荧光。同时,晶体中含有溶剂或结晶水都会使能量损失而降低荧光强度。

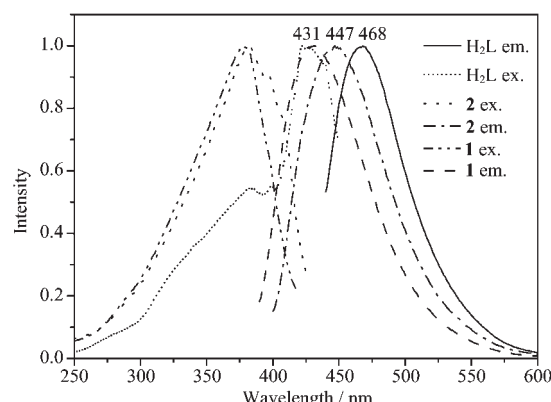


图7 H<sub>2</sub>L, **1**和**2**在室温下的固体荧光光谱图

Fig.7 Solid-state photoluminescence of H<sub>2</sub>L, **1** and **2** at room temperature

## 参考文献:

- [1] (a)Leininger S, Olenyuk B, Stang P J. *Chem. Rev.*, **2000**,**100**: 853~908  
(b)Yaghi O M, O'Keeffe M, Ockwig N W, et al. *Nature*, **2003**, **423**:705~714  
(c)Rao C N R, Natarajan S, Vaidhyanathan R. *Angew. Chem. Int. Ed.*, **2004**,**43**:1466~1496  
(d)Kesanli B, Lin W. *Coord. Chem. Rev.*, **2003**,**246**:305~326
- [2] Ye B H, Tong M L, Chen X M. *Coord. Chem. Rev.*, **2005**,**249**: 545~565
- [3] Cui Y, Ngo L H, White P S, et al. *Inorg. Chem.*, **2003**,**42**: 652~654
- [4] Chen X M, Liu G F. *Chem. Eur. J.*, **2002**,**8**:4811~4817

- [5] (a)Liu G F, Ye B H, Ling Y H, et al. *Chem. Commun.*, **2002**: 1442~1443  
(b)Ma C, Wang W, Zhang X. *Eur. J. Inorg. Chem.*, **2004**: 3522~3532  
(c)Jiang Z H, Ma S L, Liao D Z, et al. *Chem. Commun.*, **1993**: 745~747  
[6] Field J E, Venkataraman D. *Chem. Commun.*, **2002**:306~307
- [7] Bruker AXS. *SAINT+*, Version 6.0, Madison, Wisconsin, USA, **1999**.  
[8] Blessing R. *Acta Crystallogr.*, **1995**, A**51**:33~38  
[9] Sheldrick G M. *SHELXTL 6.10 Bruker Analytical Instrumentation*, Madison, Wisconsin, USA, **2000**.  
[10]Chen Z F, Xiong R G, Abrahams B F, et al. *J. Chem. Soc., Dalton Trans.*, **2001**:2453~2455